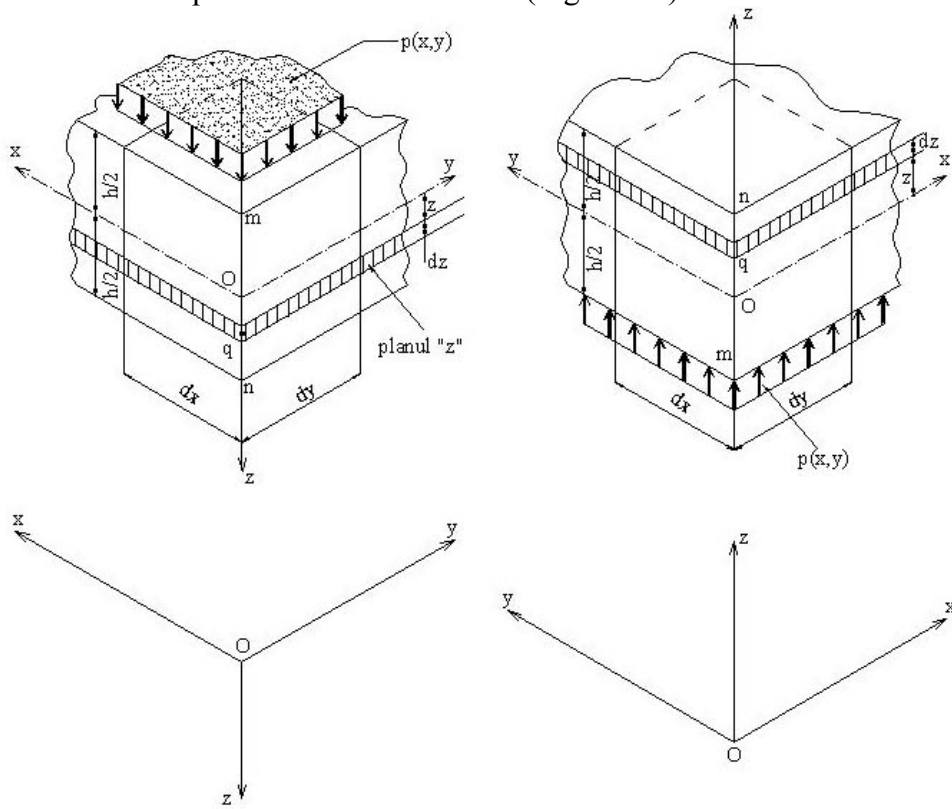


LECTIA 11: PLĂCI PLANE -TEORIA LGK (CONTINUARE)

11.1 Rezumat

Reperele carteziene utilizate în teoria plăcilor plane sunt adecvate naturii problemelor de rezolvat (fig. 11.1), astfel încât axa z are direcții și sensul firului cu plumb (fig. 11.1a), sau axa z urmează sensul reperului cartezian al **MSD** (fig. 11.1b).



a) reperul cartezian utilizat la curs
(în construcții)

b) reperul cartezian utilizat în **MSD**
(Mecanica Solidului Deformabil)

Fig.11.1 (a,b) Repere carteziene utilizate în teoria plăcilor plane

Se reamintesc notațiile asociate normalei \overline{mn} și a vecinătății sale – elementul de placă $hdxdy$:

- încărcarea $p(x,y)$
- planul z, punctul q
- rigiditatea cilindrică a plăcii $D = \frac{Eh^3}{12(1-\nu^2)}$

➤ **Ex:11.1:** Să reprezinte eforturile secționale M și T pe elemental de placă în variantele de reprezentare din fig 11.1 (fără creșteri diferențiale).

Indicație:

$$\underline{M}_{(3 \times 1)} = \begin{pmatrix} M_x \\ M_y \\ M_{xy} \end{pmatrix}; \quad \underline{T}_{(2 \times 1)} = \begin{pmatrix} T_x \\ T_y \end{pmatrix}$$

➤ **Ex. 11.2** Prezentați eforturile secționale M cu *creșteri diferențiale* (pentru scrierea ecuațiilor diferențiale de echilibru în teoria plăcilor, în variantele de reprezentare din fig. 11.1).

Indicație : urmând exemplificarea din fig. 11.2, completați exercițiul cu reprezentarea conform reperului **MDS** din fig. 11.1b.

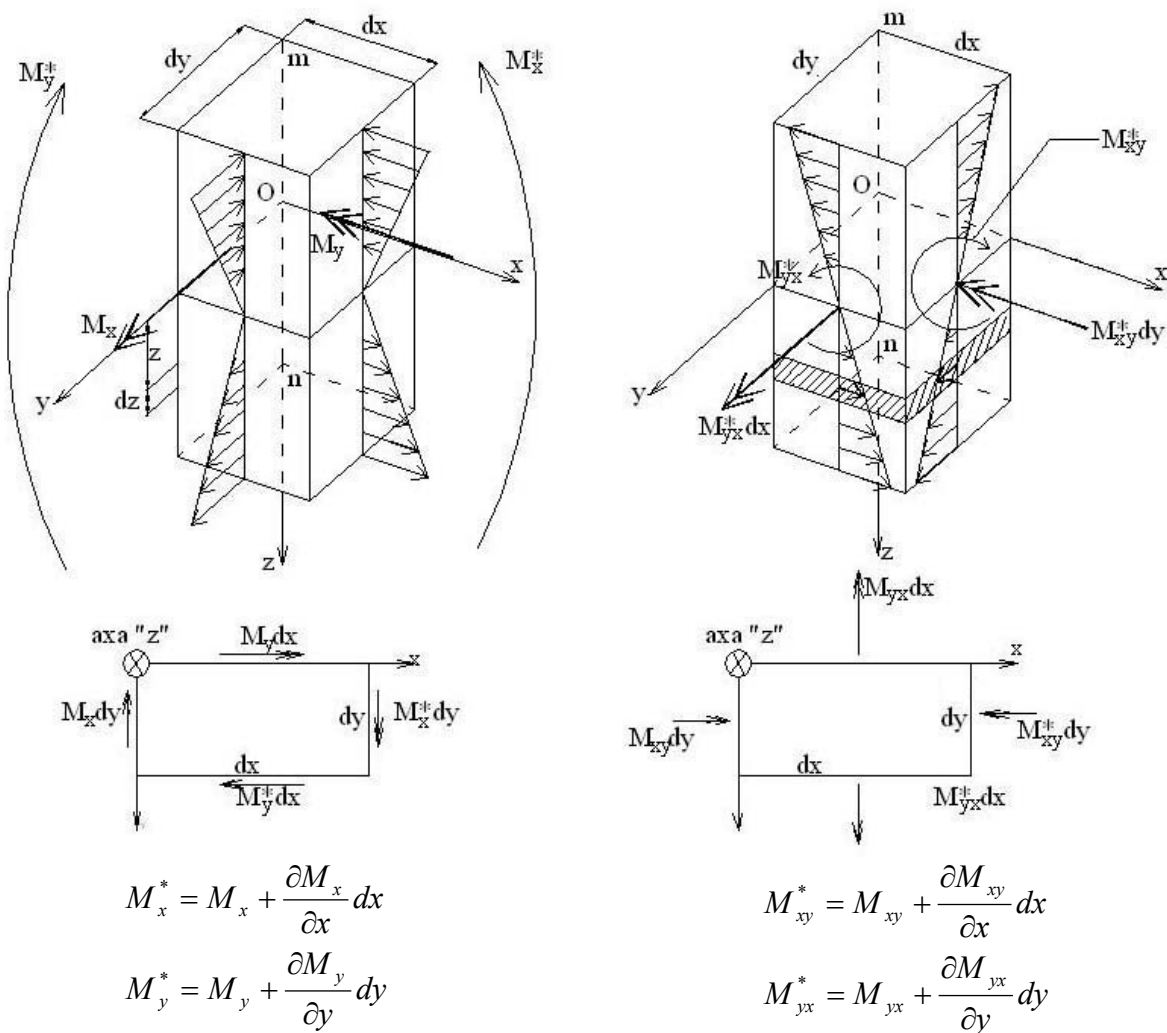


Fig. 11.2: Momente secționale – reprezentare în reperul firului cu plumb (pentru construcții)

Reperul cartezian pentru construcții:

- reprezentare M_x , M_y și creșterile diferențiale M_x^* , M_y^*
- reprezentare M_{xy} , M_{yx} și creșterile diferențiale M_{xy}^* , M_{yx}^*

- **Ex. 11.3:** Reprezentați eforturile secționale $\underline{T} = \begin{Bmatrix} T_x \\ T_y \end{Bmatrix}$ cu creșteri diferențiale (pentru scrierea ecuațiilor diferențiale de echilibru în teoria plăcilor).

Indicație: vezi fig. 11.3 pentru varianta de reprezentare a reperului cartezian pentru construcții; realizați exercițiul folosind apoi reperul din fig. 11.1b

11.3 Studiul Sb: Ecuațiile diferențiale de echilibru (fig. 11.4)

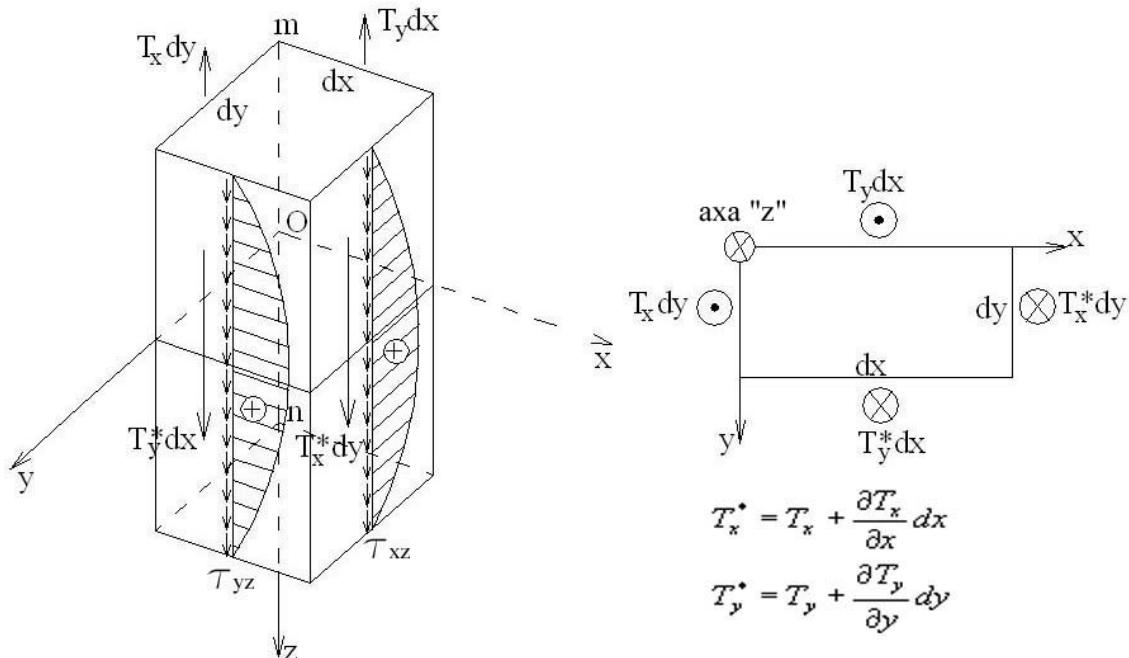


Fig. 11.3 Eforturi secționale de tip forțe tăietoare în reperul cartezian pentru construcții; reprezentarea T_x , T_y și creșterile diferențiale T_x^* , T_y^*

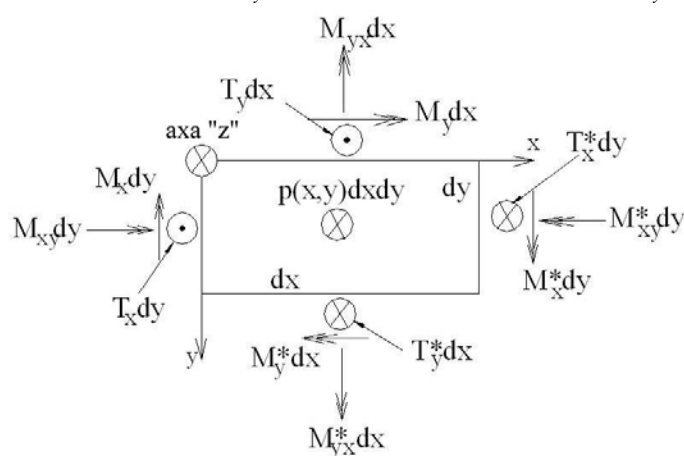


Fig. 11.4 Câmpul eforturilor secționale pentru studiul (Sb) în teoria plăcilor (ecuațiile diferențiale de echilibru)

Recapitulare Studiul (S) - (Sa) relații de definiție pentru \underline{M} și \underline{T} (vezi și lecția 10)
-(Sb) ecuațiile diferențiale de echilibru ale câmpului eforturilor secționale (fig. 11.4)

În Studiul **(Sb)** se scriu 3 ecuații de echilibru vectorial (fig. 11.4):

$$(Sb) (1, 2, 3) \quad \begin{cases} \sum \vec{M}_{axa_x} = 0 \\ \sum \vec{M}_{axa_y} = 0 \\ \sum \vec{Z} = 0 \end{cases}$$

- Com: 5 necunoscute ($M_{(3x1)}$ și $T_{(2x1)}$) numai 3 ecuații de echilibru; gradul de nedeterminare statică (interioară) GNSint = 5 - 3 = 2

Cele 5 eforturi secționale – necunoscute ale problemei **(Sb)** sunt:

$$\underline{M}_{(3x1)} = \begin{Bmatrix} M_x \\ M_y \\ M_{xy} \end{Bmatrix} \quad \underline{T}_{(2x1)} = \begin{Bmatrix} T_x \\ T_y \end{Bmatrix}$$

Reamintim că în TLE (3D); GNSint = 6 - 3 = 3!

Se dezvoltă numai prima ecuație de echilibru vectorial din sistemul **(Sb)**; celelalte două ecuații se prezintă ca ale unor exerciții.

$$\underbrace{(M_y - M_y^*) dx}_{-\frac{\partial M_y}{\partial y} dydx} + \underbrace{(M_{xy} - M_{xy}^*) dy}_{-\frac{\partial M_{xy}}{\partial x} dxdy} + T_y dxdy \equiv 0$$

Deoarece elementul de placă este un element diferențial, rezultă $dxdy \neq 0$; prin urmare :

$$-\frac{\partial M_y}{\partial y} - \frac{\partial M_{xy}}{\partial x} + T_y = 0$$

sau:

$$\sum \vec{M}_{axa_x} = 0 \Rightarrow (Sb)_2 \quad \frac{\partial M_y}{\partial y} + \frac{\partial M_{xy}}{\partial x} = T_y$$

- **Ex: 11.4** Să se arate că ecuația de echilibru $\sum \vec{M}_{axa_y} = 0$ conduce la rezultatul:

$$(Sb)_1: \quad \frac{\partial M_x}{\partial x} + \frac{\partial M_{yx}}{\partial y} = T_x$$

- **Ex : 11.5** Să se arate că ecuația de echilibru $\sum \vec{Z} = 0$ conduce la rezultatul:

$$(Sb)_3: \quad \frac{\partial T_x}{\partial x} + \frac{\partial T_y}{\partial y} = -p(x, y)$$

11.4 Analiza comparativă a teoriei LGK cu teoria grinzilor

Reamintim rezultatele din Rezistența Materialelor (RM)

$$\text{RM : } \begin{cases} (1) \frac{dT}{dx} = -p(x) \\ (2) \frac{dM}{dx} = T(x) \\ (3) \frac{d^2M}{dx^2} = \frac{dT}{dx} = -p(x) \\ (4) \frac{d^2w}{dx^2} = -\frac{M(x)}{EI} \Rightarrow \frac{d^3w}{dx^3} = -\frac{d}{dx}\left(\frac{M(x)}{EI}\right) = -\frac{T(x)}{EI} \\ (5) T(x) = -EI \frac{d^3w}{dx^2} \end{cases}$$

TLE / LGK: Scriem ecuațiile de echilibru pentru momente astfel:

$$\text{(Sb)_(1,2)} \quad \begin{cases} (1) \frac{\partial M_x}{\partial x} + \frac{\partial M_{yx}}{\partial y} = T_x \\ (2) \frac{\partial M_y}{\partial y} + \frac{\partial M_{xy}}{\partial x} = T_y \end{cases} \Rightarrow \underbrace{\begin{bmatrix} \frac{\partial}{\partial x} & 0 & \frac{\partial}{\partial y} \\ 0 & \frac{\partial}{\partial y} & \frac{\partial}{\partial x} \end{bmatrix}}_{D_{PP(2x3)}^T} \underbrace{\begin{bmatrix} M_x \\ M_y \\ M_{xy} \end{bmatrix}}_{\underline{M}_{(3x1)}} = \underbrace{\begin{bmatrix} T_x \\ T_y \\ \underline{T}_{(2x1)} \end{bmatrix}}_{\underline{T}_{(2x3)}} \Rightarrow \underline{D}_{(2x3)}^T \underline{M}_{(3x1)} = \underline{T}_{(2x1)}$$

Așadar, relația (2) din RM se generalizează sub forma ecuațiilor **(Sb)_(1,2)** din **TLE/LGK**. Aceste ecuații pot fi exprimate în deplasări (funcție $w(x,y)$ și derivatele ei) : **(Sb)₍₁₎**:

$$\begin{aligned} \frac{\partial}{\partial x}(M_x) + \frac{\partial}{\partial y}(M_y) &= T_x \\ \frac{\partial}{\partial x} \left[-D \left(\frac{\partial^2 w}{\partial x^2} + \nu \frac{\partial^2 w}{\partial y^2} \right) \right] + \frac{\partial}{\partial y} \left[-D(1-\nu) \frac{\partial^2 w}{\partial x \partial y} \right] &= -D \frac{\partial}{\partial x} (\nabla^2 w) = T_x \\ \text{unde: } \nabla^2 &= \frac{\partial^2}{\partial x^2} + \frac{\partial^2}{\partial y^2} \end{aligned}$$

➤ **Ex : 11.6** Aduceți ecuația **(Sb)₍₂₎** $\frac{\partial M_y}{\partial y} x + \frac{\partial M_{xy}}{\partial x} = T_y$ la forma: $T_y = -D \frac{\partial}{\partial y} (\nabla^2 w)$

Așadar, relația (5) din RM se generalizează sub forma:

$$T_{(2x1)}(x, y) = \begin{Bmatrix} T_x \\ T_y \end{Bmatrix} = -D \begin{Bmatrix} \frac{\partial}{\partial x} \\ \frac{\partial}{\partial y} \end{Bmatrix}_{(2x1)} \nabla^2 w$$

11.5 Ecuația diferențială de ordinul IV a plăcilor plane în coordonate carteziene (sau ecuația Lagrange - Sophie Germain)

Indicații: vezi lecția 8 (plăci plane circulare): $\nabla^4 w(x, y) = \frac{p(x, y)}{D}$

Rezolvare: Ecuația de proiecție $(Sb)_{(3)}$, $\sum \bar{Z} = 0$ a condus în **Ex 11.5** la rezultatul:

$$(Sb)_{(3)}: \frac{\partial T_x}{\partial x} + \frac{\partial T_y}{\partial y} = -p(x, y)$$

Introducem:

$$\left. \begin{aligned} T_x &= -D \frac{\partial}{\partial x} (\nabla^2 w) \\ T_y &= -D \frac{\partial}{\partial y} (\nabla^2 w) \end{aligned} \right\} \Rightarrow \frac{\partial T_x}{\partial x} + \frac{\partial T_y}{\partial y} = -D \frac{\partial^2}{\partial x^2} (\nabla^2 w) - D \frac{\partial^2}{\partial y^2} (\nabla^2 w) = -p(x, y)$$

Rezultă ecuația Lagrange – Sophie Germain:

$$\boxed{\nabla^2 (\nabla^2 w(x, y)) = \frac{p(x, y)}{D} \quad \text{sau} \quad \nabla^4 w(x, y) = \frac{p(x, y)}{D}}$$

Modelul complet constă din introducerea condițiilor la limită **(S3)** și **(G3)**, dezvoltate în paragraful următor.

11.6 Condiții la limită (de rezemare) – fig.11.5

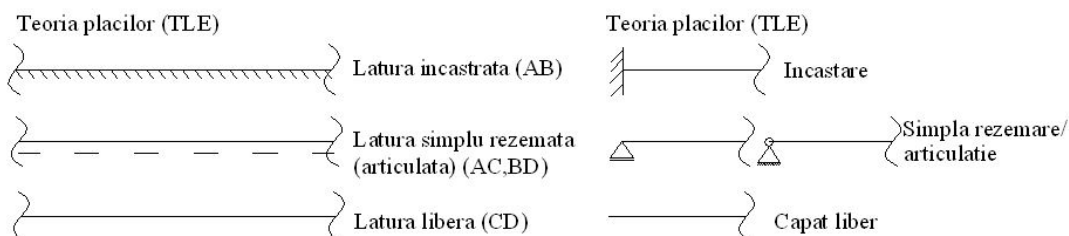
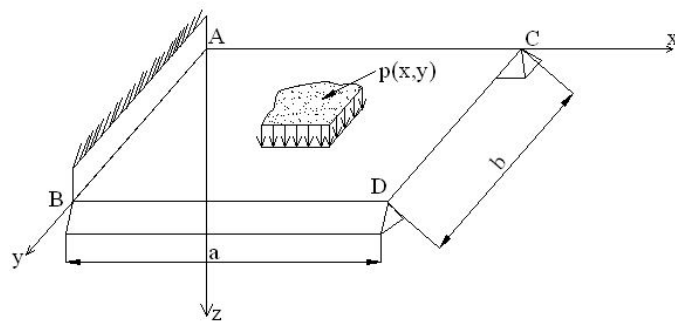


Fig.11.5 Plăci dreptunghiulare . Condiții la limită (tipuri de rezemare)

- *Com :* Se prezintă numai două tipuri de rezemare: latura încastrată și latura simplu rezemată (articulată);

- *Com:* Latura liberă nu este examinată în cursul de față! justificare: numai pentru cele două tipuri de rezemare anunțate mai sus coondițiile la limită (**G₃**) pot fi exprimate în deplasări, pentru latura liberă sunt necesare argumente preluate din studiul (**S₃**), prezentate de Kirchhoff, pe care nu le dăm aici.
- *Com:* În teoria (clasică) a plăcilor , încărcările p(x,y) nu pot fi decât **funcții continue pe porțiuni**. Pentru a admite și încărcări concentrate ar trebui aplicate metodele de lucru ale teoriei distribuțiilor (care se studiază în facultățile de matematică). Pentru aplicațiile practice (ingineresci) se utilizează:

MDF = Metoda Diferențelor Finite

MEF = Metoda Elementului Finit

11.6.1 Latura încastrată (AB)

Condițiile la limită sunt:

- i. $x=0 ; w(x=0; y) = 0$
- ii. $\frac{\partial w}{\partial y} = \frac{\partial^2 w}{\partial y^2} \Big|_{AB} = 0$ (dreapta de încastrare rămâne rectilinie ; curbura pe direcția y este = zero)
- iii. $\frac{\partial w}{\partial x} \Big|_{AB} = 0$ (condiția de încastrare)

Condițiile la limită sunt exprimate în deplasări , (sunt de tipul **(G3)**):

$$\begin{cases} i) & w = 0 \\ ii) & \frac{\partial w}{\partial x} \Big|_{AB} = 0 \end{cases}$$

11.6.2. Latura simplu rezemată (articulată) (AC, BD)

- i. $\begin{cases} (AC) y = 0; & w = 0 \\ (BD) y = 0; & w = 0 \end{cases}$ ecuația analitică a laturii respective
- ii. $\begin{cases} (AC) \frac{\partial w}{\partial x} = \frac{\partial^2 w}{\partial x^2} = 0 \\ (BD) \frac{\partial w}{\partial x} = \frac{\partial^2 w}{\partial x^2} = 0 \end{cases}$ latura rămâne rectilinie, curbura zero
- iii. $M_y \Big|_{BD}^{AC} = 0 \Rightarrow -D \left(\frac{\partial^2 w}{\partial y^2} + \nu \underbrace{\frac{\partial^2 w}{\partial x^2}}_{=0} \right) \Big|_{AC}^{BD} \Rightarrow \frac{\partial^2 w}{\partial y^2} \Big|_{BD}^{AC} = 0$

Rămân condițiile finale exprimate în deplasări (de tipul **G3**) :

$$\begin{cases} i) w = 0 \\ iii) \frac{\partial^2 w}{\partial y^2} = 0 \\ (AC) \end{cases}$$

➤ **Ex: 11.7** Să se scrie condițiile de rezemare (la limită) pentru placa din fig. 11.6. Scrieți condițiile la limită i) – iii) (mai puțin pe latura liberă), evidențiind condițiile de rezemare (**G3**) pe fiecare latură.

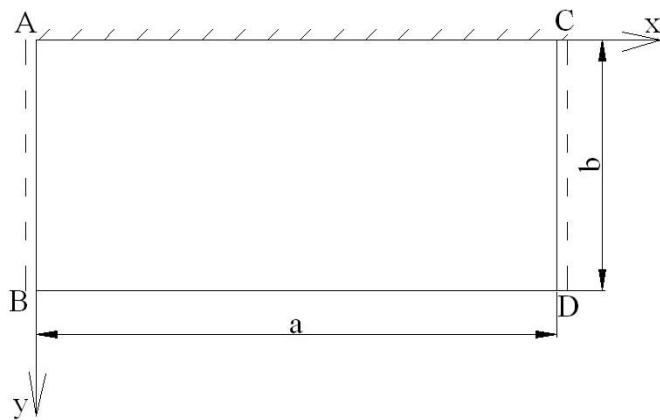


Fig. 11.6 (vedere de sus)